



جداسازی ^{153}Sm از ناخالصی رادیوایزوتوپ‌های Eu تولید شده در هدف ساماریوم (Sm) طبیعی پرتودهی شده

سیده زهرا اسلامی‌زاد^{*۱،۲}، مجتبی شمسایی^۲، رضا قلی پورپیوندی^۱، محمد قنادی مواجه^۱، علی بهرامی سامانی^۲، سیمین دخت‌شیروانی^۱

۱- پژوهشکده چرخه سوخت هسته‌ای، پژوهشگاه علوم و فنون هسته‌ای، سازمان انرژی اتمی ایران، صندوق پستی: ۱۱۳۶۵-۸۴۸۶، تهران - ایران

۲- دانشکده مهندسی هسته‌ای و فیزیک، دانشگاه صنعتی امیرکبیر، صندوق پستی: ۱۵۸۷۵-۴۴۱۳، تهران - ایران

چکیده: تولید ^{153}Sm از بیماران نوترونی هدف ساماریوم طبیعی، تولید ناخالصی‌های $^{154,155,156}\text{Eu}$ را به دنبال دارد. بنابراین میزان و روش جداسازی این ناخالصی‌ها حائز اهمیت است. این مقاله جداسازی ^{153}Sm از ایزوتوپ‌های Eu با استفاده از روش کروماتوگرافی تبادل یون را مورد مطالعه قرار می‌دهد. ساماریوم طبیعی به صورت پودر اکسید آن (Sm_2O_3) در نیتریک اسید حل و در داخل محفظه‌ی آلومینینی در رآکتور ۵MW تهران با شار نوترونی $5 \times 10^{13} \text{ cm}^{-2} \text{ s}^{-1}$ پرتودهی شد. نمونه‌ی پرتودهی شده در هیدروکلریک اسید حل و به ستون کروماتوگرافی حاوی رزین Dowex-50Wx8 با اندازه‌ی ذرات ۲۰۰ تا ۴۰۰ میلی‌متر تزریق و ^{153}Sm با بهره‌ی جداسازی بیش از ۶۵٪ خلوص رادیونوکلیدی ۹۹.۸٪ از ناخالصی‌های Eu جداسازی شد.

واژه‌های کلیدی: رادیونوکلید، ساماریوم-۱۵۳، خلوص رادیونوکلیدی، جداسازی، رزین Dowex-50Wx8 کروماتوگرافی تبادل یون

Separation of Eu Radioisotopes Impurity from Irradiated Natural Sm Target for Purification of ^{153}Sm

S.Z. Islami Rad^{*1,2}, M. Shamsaei², R. Gholipour Peyvandi¹, M. Ghannadi Maragheh¹, A. Bahrami Samani², S. Shirvani¹

1- Nuclear Fuel Cycle Research School, Nuclear Science and Technology Research Institute, AEOI, P.O.Box: 11365-8486, Tehran - Iran

2- Nuclear Engineering and Physics Department, Amir Kabir University, P.O. Box: 15875-4413, Tehran-Iran

Abstract: The ^{153}Sm production by neutron bombardment of a natural samarium target produces $^{154,155,156}\text{Eu}$ impurities. Therefore, it is important to investigate amount of impurities and their separation methods. In this study, ^{153}Sm was separated from Eu radioisotopes by ion exchange chromatography. Natural Sm_2O_3 powder was dissolved in HNO_3 and encapsulated in aluminum foils. The target was irradiated by Tehran 5MW Research Reactor with the neutron flux of $5 \times 10^{13} \text{ n cm}^{-2} \text{ s}^{-1}$. The irradiated target was dissolved in HCl and was injected into a chromatography column that was packed with Dowex-50Wx8, 200-400 mesh resin. As a result, ^{153}Sm was separated with recovery yield more than 65% with a purity better than 99.8% from Eu impurities.

Keywords: Radionuclide, Samarium-153, Radionuclidic Purity, Separation, Dowex-50Wx8 Resin, Ion Exchange Chromatography

*email: zislamirad@aeoi.org.ir

تاریخ دریافت مقاله: ۸۸/۳/۲۳ تاریخ پذیرش مقاله: ۸۹/۹/۲۳



می‌باشد، رادیونوکلید ^{153}Sm ¹⁵³ با فعالیت ویژه‌ی بالا به سرعت از ^{152}Sm تولید می‌شود. ^{153}Sm با گسیل ذره‌ی β^- به ^{152}Eu و پاشیده می‌شود که اگرچه پایدار است ولی با جذب نوترون‌های گرمایی در رآکتور منجر به تولید ناچالصی‌های ^{154}Eu و ^{155}Eu می‌گردد.

در روش دوم، ساماریم طبیعی تحت بمبان نوترونی در یک رآکتور قرار می‌گیرد. چون ساماریم طبیعی دارای ۷ ایزوتوپ با درصدهای فراوانی مختلف می‌باشد (جدول ۱)، علاوه بر تولید ناچالصی‌های ^{154}Eu و ^{155}Eu ، ناچالصی ^{156}Eu نیز تولید می‌شود. لذا، میزان ناچالصی‌های تولید شده نسبت به روش اول بسیار بالاتر است. در جدول ۲ داده‌های هسته‌ای مورد استفاده برای ارزیابی رادیونوکلیدهای ^{153}Sm و ^{152}Eu و نحوه تشكیل آنها ارایه شده است [۷].

مقادیر ناچالصی‌های تولید شده در پرتوودهی هدف ساماریم طبیعی، از حل ماتریسی معادلات و پاشی ایزوتوپ‌های ساماریم، با استفاده از برنامه‌ی نوشته شده در محیط MATLAB، به دست $dN_i = \frac{dN}{dt} = [A] \cdot N_i$ می‌آید. معادلات و پاشی، معادلات دیفرانسیلی N_i را تشکیل می‌دهد. برنامه N_i را محاسبه و مقدار فعالیت هر نوکلید را از طریق رابطه $A_i = \lambda_i N_i$ برآورد می‌کند که در جدول ۳ آورده شده است. هم‌چنین تولید ناچالصی‌ها با استفاده از کد TALYS 1.0، در گستره‌ی نوترون‌های گرمایی محاسبه شده است. با توجه به مقادیر بالای ناچالصی‌های تولید شده در روش دوم، جداسازی این ناچالصی‌ها به منظور خالص‌سازی رادیونوکلید ^{153}Sm از اهمیت خاصی برخوردار است.

جدول ۱- ایزوتوپ‌های مختلف ساماریم و مشخصات آن‌ها

سطح مقطع جذب نوترونی (بارن)	نیم-عمر	فراوانی (%)	ایزوتوپ‌های ساماریم
۱,۶	-	۳,۱	^{153}Sm
۲۸۰	روز ۳۴۰	-	^{152}Sm
۲,۴۵	سال $1,03 \times 10^{-8}$	-	^{152}Sm
۵۶	سال $1,06 \times 10^{-11}$	۱۵	^{157}Sm
۲,۴	سال 7×10^{-15}	۱۱,۳	^{153}Sm
۴۰۱۰	-	۱۳,۸	^{153}Sm
۱۰۲	-	۷,۴	^{153}Sm
-	سال ۹۳	-	^{151}Sm
۲۰۶	-	۲۶,۷	^{153}Sm
۴۲۰	ساعت ۴۶	-	^{153}Sm
۷۲	-	۲۲,۷	^{153}Sm
-	دقیقه ۲۲,۳	-	^{153}Sm

۱- مقدمه

^{153}Sm ، بانیم-عمر ۴۶,۲۷ ساعت، یک بتا گسیل با انرژی بیشینه‌ی 81MeV و انرژی متوسط 23MeV است. برد متوسط تابش بتای آن در بافت نرم $6,0$ میلی‌متر، در آب $5,0$ میلی‌متر و بیشینه‌ی آن در آب 3 میلی‌متر است. این خواص سبب شده است این رادیونوکلید به عنوان یک رادیوداروی درمانی در کاهش درد متابستاز استخوان مورد استفاده قرار گیرد. ^{153}Sm علاوه بر بتا، پرتو گاما با انرژی 10^3keV و فراوانی 28% نیز گسیل می‌کند که می‌تواند نحوه توزیع ساماریم در بدن را با بهره‌گیری از یک دوربین گاما نشان دهد [۱ و ۲].

تولید ^{153}Sm از طریق پرتوودهی نوترونی هدف‌های ^{152}Sm غنی شده چندان اقتصادی نیست، در نتیجه در این مقاله، تولید رادیونوکلید ^{153}Sm از طریق پرتوودهی ساماریم طبیعی مورد بررسی قرار می‌گیرد. اما این روش سبب تولید ناچالصی رادیوایزوتوپ‌های ^{152}Eu می‌شود. برای جداسازی ^{153}Sm از روش‌های کاهش نوری یون، تبادل یونی و استخراج حلالی استفاده شده است. کی‌یو و همکارانش با استفاده از روش کاهش نوری اروپیم را از کنسانتره‌ی ساماریم، اروپیم و گادولینیم جداسازی نمودند [۳]. شوانت و همکارانش با استفاده از استخراج حلالی و کاهش نوری اروپیم را از استرانسیم جدا کردند [۴]. هیراپی و همکارانش نیز با بهره‌گیری از کاهش نوری در مرحله‌ی استخراج معکوس (استیرپینگ) اروپیم را از مخلوط ساماریم، اورپیم و گادولینیم جداسازی کردند [۵].

این مقاله جداسازی ^{153}Sm از ناچالصی‌های ^{152}Eu با استفاده از روش تبادل یونی را مورد بررسی قرار می‌دهد. این روش علاوه بر این که از نظر اقتصادی مقرن به صرفه است، یک روش انتخابی بوده و هم‌چنین قابل اجرا در پشت حفاظ مناسب می‌باشد [۶].

۲- تئوری

برای تولید ^{153}Sm روش‌های مختلفی وجود دارد که از میان آن‌ها دو روش بیشتر مورد توجه است. در روش اول، ^{152}Sm غنی شده (با فراوانی 98%) تحت بمبان نوترونی در یک رآکتور هسته‌ای قرار می‌گیرد. با توجه به این که سطح مقطع جذب نوترون‌های گرمایی ^{153}Sm متوسط 20.6 نسبتاً بالا (20.6 بارن)



جدول ۲- داده‌های هسته‌ای مورد استفاده برای ارزیابی رادیونوکلیدهای ^{153}Sm و Eu و روش تولید آن‌ها

روش تولید رادیونوکلیدها			قله‌های گاما مورد استفاده در ارزیابی			
سطح مقطع واکنش	درصد فراوانی طبیعی	واکنش هسته‌ای	درصد (%)	انرژی (keV)	نیم-عمر	رادیونوکلید
۲۰۶	^{152}Sm ٪۲۶,۷	$^{152}\text{Sm}(\text{n}, \gamma)^{153}\text{Sm}$	۲۸	۱۰۳	۴۶,۳ ساعت	^{153}Sm
۳۹۰	-	$^{153}\text{Sm}(\beta, T_{1/2} = ۴۶,۳\text{h}) \rightarrow ^{154}\text{Eu}(\text{n}, \gamma)^{155}\text{Eu}$	۴۰,۵	۱۲۳,۱	۸,۵ سال	^{154}Eu
۵,۵	^{154}Sm ٪۲۲,۷	$^{154}\text{Sm}(\text{n}, \gamma)$ $^{155}\text{Sm}(\beta, T_{1/2} = ۲۲,۱\text{min}) \rightarrow ^{155}\text{Eu}$	۳۲,۷ ۲۱,۸	۸۶,۵ ۱۰۵,۳	۴,۶۸ سال	^{155}Eu
۴۰۴۰	-	$^{155}\text{Eu}(\text{n}, \gamma)^{156}\text{Eu}$	۱۰,۳ ۸,۹۶	۸۱۱,۸ ۸۹	۱۵,۲ روز	$^{154,155}\text{Eu}$

جدول ۳- مقادیر فعالیت پرتوزایی نظری ناخالصی‌های Eu حاصل از پرتوودهی نوترونی 1mg ساماریم اکسید طبیعی

فعالیت (μCi) ^{156}Eu و ^{154}Eu	فعالیت (μCi) ^{156}Eu	فعالیت (μCi) ^{155}Eu	فعالیت (μCi) ^{154}Eu	فعالیت (mCi) ^{153}Sm	شار نوترونی رآکتور $\text{cm}^{-2}\text{s}^{-1}$	مدت زمان پرتوودهی- زمان خنک شدن (روز)
۸۱,۷۴	۶۷,۳۰	۱۳,۹۵	۰,۴۸	۲۱۳,۱	۵×10^{-13}	۰-۵
۳۱,۴۳	۱۷,۱۵	۱۳,۸۰	۰,۴۸	۰,۰۰۵	۵×10^{-13}	۳۰-۵

پذیرفت. فعالیت پرتوزایی ^{153}Sm تولید شده پس از ۱۲۰ ساعت برابر $6,66 \text{ GBq}$ تا $7,40 \text{ GBq}$ تعیین و حضور ناخالصی‌های ^{154}Eu و ^{155}Eu همراه ^{153}Sm در فرایند پرتوودهی هدف ساماریم طبیعی تأیید شد.

۳-۳ روش جداسازی

برای جداسازی ناخالصی‌های Eu از رزین تبادل یونی استفاده شد. محلول ساماریم کلرید وارد ستونی از رزین Dowex-50Wx8 با اندازه‌ی ذرات ۲۰۰ تا ۴۰۰ مش و به ابعاد $(384, ۰, ۳۸۴)$ سانتی‌متر مریع $\times 25$ سانتی‌متر) شد. ستون ابتدا با آب مقطّر و سپس با ۲۰۰ میلی‌لیتر از محلول $۰,۲$ مولار بوتیریک اسید^(۲) با $\text{pH}=4,8$ شستشو داده شد.

۳-۱-۳ آماده‌سازی هدف
مقدار ۱ میلی‌گرم پودر اکسید ساماریم طبیعی Sm_2O_3 (Rasayan ۹۹,۹%) در ۱ میلی‌لیتر نیتریک اسید یک درصد حل و به داخل ویال منتقل و در مجاورت گاز نیتروژن در دمای 100 تا 120°C قرار گرفت. پس از ۱ ساعت نمونه در انتهای ویال به صورت جامد درآمد. ویال پس از انتقال به داخل محفظه‌ی آلمینیومی در رآکتور تحقیقاتی تهران، با شار نوترونی $5 \times 10^{-13} \text{ cm}^{-2}\text{s}^{-1}$ به مدت ۵ روز پرتوودهی گردید. در پایان پرتوودهی، هدف در کلریدریک اسید ۱ مولار حل شد [۸].

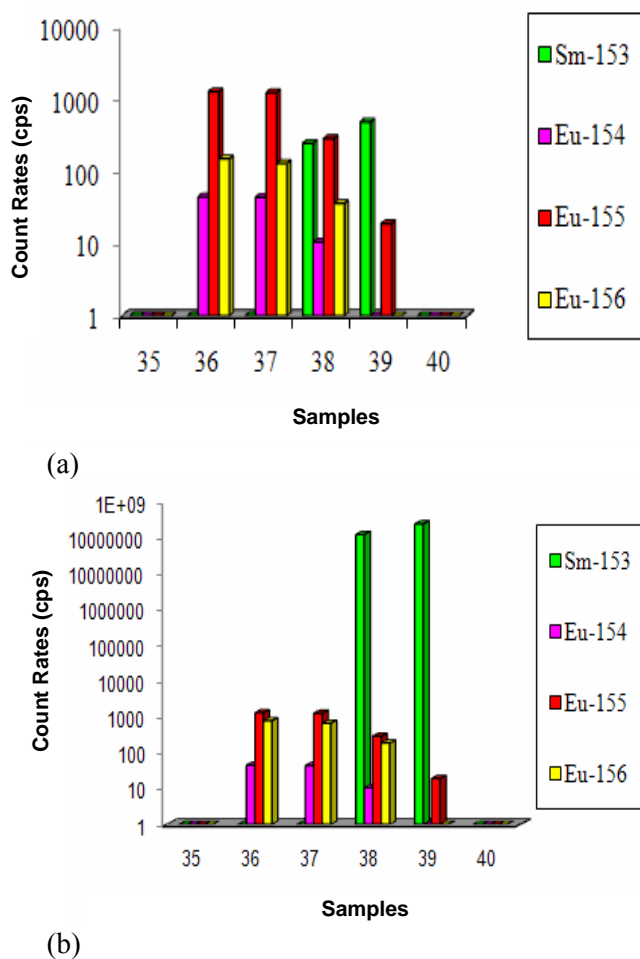
۳-۲ طیف‌سنجی
تشخیص و ارزیابی رادیونوکلیدهای گاما‌گسیل با استفاده از آشکارساز ژرمانیم با خلوص بالا^(۱) (Eurisys 2000) انجام



پس از پرتوودهی ^{153}Sm برابر است که از طریق فرمول زیر محاسبه می‌شود:

$$\frac{\text{فعالیت پرتوزایی Sm}}{\text{فعالیت پرتوزایی Eu}} = \frac{\frac{\text{تعداد شمارش برای Sm}}{\text{بازدۀ شمارنده} \times \text{نسبت انشعاب}}}{\frac{\text{تعداد شمارش برای Eu}}{\text{بازدۀ شمارنده} \times \text{نسبت انشعاب}}} \quad (1)$$

که مطابق با خلوص رادیونوکلیدی بیش تر از ۹۹,۸٪ است.



شکل ۱- میزان جداسازی ناچالصی‌های ^{154}Eu و ^{156}Eu از ^{153}Sm تولید شده؛ (a) پس از ۵ روز پرتوودهی نوترونی ۱ میلی‌گرم ساماریم طبیعی، (b) پس از ۳۶ روز خنک‌سازی.

۴- نتایج

فعالیت نمونه‌های جمع آوری شده از محلول خروجی ستون با استفاده از شمارش پرتوزایی آن‌ها به کمک یک آشکارساز ژرمانیم با خلوص بالا اندازه‌گیری شد. شکل ۱ نمودار تغییرات آهنگ شمارش نمونه‌های گرفته شده از محلول خروجی ستون را نشان می‌دهد. در این مطالعه، نمونه‌ی ۴۰ نمونه‌ی ۵ میلی‌لیتری جمع آوری شد. با توجه به این که ^{155}Eu شاخص‌ترین ناچالصی تولید شده، دارای قله‌ای در انرژی 105.2keV است که بسیار نزدیک به قله‌ی ^{153}Sm می‌باشد و از آن جایی که ناچالصی‌های ^{153}Sm و ^{155}Eu دارای نیم-عمرهای طولانی‌تری نسبت به ^{153}Sm هستند، این موضوع باعث بروز مشکلاتی در تحلیل طیف‌سنجی گاما می‌گردد. لذا برای تعیین دقیق‌تر مقدار آن‌ها و برای جلوگیری از هم‌پوشانی قله‌های انرژی، تمام نمونه‌ها پس از گذشت چندین نیم-عمر ^{153}Sm در نوبت‌های مختلف مورد شمارش قرار گرفتند. در شمارش نمونه‌ها پس از گذشت ۱۰ تا ۲۰ نیم-عمر ^{153}Sm مقدار ناچالصی‌ها با دقت بسیار بالایی تعیین گردید. در این پژوهش نمونه‌ها بلافصله پس از پرتوودهی و هم‌چنین پس از ۳۶ روز خنک‌سازی شمارش شدند (جدول‌های ۴ و ۵).

براساس نتایج جدول ۴ و شکل ۱، ابتدا ^{153}Eu از ستون جدا شسته می‌شود و در نمونه‌ی ۳۵ آهنگ شمارش پایین آن معرف میزان خروج پایین آن است. بیشترین میزان خروج آن در نمونه‌ی ۳۶ مشاهده می‌شود. در حالی که بیشترین میزان خروج ^{153}Sm را در نمونه‌ی ۳۹ داریم. در این نمونه ناچالصی ^{153}Sm به کمتر از ۴٪ رسیده است و در نمونه‌ی ۴۰ اثری از ^{153}Sm مشاهده نمی‌شود.

با توجه به این که ^{155}Eu دارای نیم-عمرهای طولانی (۴,۶۸ و ۸,۵ سال) هستند، فعالیت پرتوزایی آن‌ها نسبت به ^{153}Sm (نیم-عمر ۴۶/۲۷ ساعت)، پس از پرتوودهی بسیار پایین تر می‌باشد. در نتیجه خالص‌سازی و استفاده از ^{153}Sm بلافصله پس از پرتوودهی پیشنهاد می‌شود (جدول ۵).

هم‌چنین تحلیل طیف گاما نمونه‌های جمع آوری شده، در اطراف قله‌ی ^{153}Sm (نمونه‌ی ۳۹) نشان می‌دهد که در این ناحیه فعالیت پرتوزایی ^{153}Sm نسبت به ^{155}Eu و ^{156}Eu پس از ۵ روز پرتوودهی و پس از ۳۶ روز خنک‌سازی ۳۰ برابر می‌باشد و ۵ روز



جدول ۴- نتایج شمارش نمونه‌ها پس از ۵ روز پرتوودهی و ۳۶ روز خنک‌سازی

عنصر	انرژی (keV)	درصد فروپاشی	نمونه ۳۵	نمونه ۳۶	نمونه ۳۷	نمونه ۳۸	نمونه ۳۹	نمونه ۴۰
^{153}Sm	۱۰۳	۲۸	ND*	ND	۲۴۵,۸۵	۴۸۸,۱۵	ND	ND
^{154}Eu	۱۲۳,۱	۴۰,۵	ND	۴۴,۶۴	۴۳,۹۴	۱۰,۵۳	۰,۸۱	ND
^{155}Eu	۸۶,۵	۳۲,۷۰	۰,۲۵	۱۲۸۶,۳۶	۱۲۴۱,۱۸	۲۸۸,۲۶	۱۹,۰۱۶	ND
^{156}Eu	۸۹	۸,۹۶	ND	۱۵۱,۸۰	۱۱۷,۳۰	۳۶,۱۱	ND	ND

* مشاهده نشد.

جدول ۵- نتایج شمارش نمونه‌ها پس از ۵ روز پرتوودهی

عنصر	انرژی (keV)	درصد فروپاشی	نمونه ۳۵	نمونه ۳۶	نمونه ۳۷	نمونه ۳۸	نمونه ۳۹	نمونه ۴۰
^{153}Sm	۱۰۳	۲۸	ND	ND	۱۲۳۹۳۲۳۶	۲۴۶۰۷۵۵۲۴	ND	ND
^{154}Eu	۱۲۳,۱	۴۰,۵	ND	۴۵,۲۵	۴۴,۲۹	۱۰,۶۱	۰,۸۱	ND
^{155}Eu	۸۶,۵	۳۲,۷	۰,۲۵	۱۳۰۵,۲۹	۱۲۵۹,۴۴	۲۹۲,۵	۱۹,۲۹	ND
^{156}Eu	۸۱۱,۸	۱۰,۳	ND	۷۸۳,۶۱	۶۷۰,۱۶	۱۸۶,۴۴	۰,۸۶	ND

برابر ۶۶,۵۰٪ و میزان خلوص بالاتر از ۹۹,۸٪ به دست آمد، این روش نسبت به روش‌های دیگر از کارآبی بالایی برای جداسازی Eu و Sm بخوردار است، زیرا ساماریم-۱۵۳ جدا شده در این روش دارای خلوص رادیونوکلیدی ۹۹,۸٪ می‌باشد و برای تولید رادیودارو خلوص رادیونوکلیدی بالا مورد نیاز است. لذا، این روش با توجه به زمان کم جداسازی و قابل اجرا بودن در حفاظت سربی و اقتصادی بودن و از همه مهم‌تر درجه‌ی خلوص بالاتر، ^{153}Sm به دست آمده ترجیح داده می‌شود.

پی‌نوشت‌ها:

۱- HPGe

۲- α -HIBA

۵- بحث و نتیجه‌گیری

پس از ۵ روز پرتوودهی هدف ساماریم طبیعی با نوترون‌های گرمایی، ۱۸۰ تا ۲۰۰ میلی‌کوری ^{153}Sm تولید شد. اگرچه پرتوودهی کوتاه مدت ساماریم ^{152}Sm غنی شده در شار نوترونی بالا سبب افزایش فعالیت پرتوزایی تا سه برابر می‌شود و میزان تولید ناخالصی رادیونوکلیدهای Eu کاهش می‌باید، ولی با توجه به بالا بودن قیمت هدف غنی شده، اقتصادی نمی‌باشد. اما چون ساماریم طبیعی ارزان‌تر از ساماریم-۱۵۲ غنی شده است و جداسازی ناخالصی‌های Eu با استفاده از روش جداسازی تبدال یونی به سهولت انجام می‌پذیرد، لذا می‌توان از ساماریم طبیعی برای تولید ^{153}Sm استفاده کرد.

در جداسازی اروپیم از مخلوط ساماریم، اروپیم و گادولینیم توسط کی‌یو و همکارانش [۳] بهره‌ی جداسازی Eu، ۹۵٪ و خلوص Eu برابر ۹۲٪ به دست آمد [۳] و در جداسازی اروپیم از استرانسیم توسط شوانت و همکارانش [۴] بهره‌ی جداسازی اروپیم برابر ۸۹٪ و خلوص Eu رسوب شده در حدود ۹۵٪ تعیین گردید. با توجه به این که جداسازی Sm از Eu با بهره‌گیری از تفاوت سرعت خروج از ستون، و با استفاده از شوینده‌ی بوتیریک اسید و روش تبدال یونی انجام شد و بهره‌ی جداسازی



References:

1. M.A. Majali, A.R. Mathakar, H.H. Shimpi, Banerjeea, Sharmila, Samuel, Grace: Studies on the preparation and stability of samarium-153 propylene diamine tetramethylene phosphonate (PDTMP) complex as a bone seeker. *Appl. Radiat. Isot.* 53(6), 987-991 (2000).
2. W.K.A. Louw, I.C. Dormehl, van Rensburg A.J., Hugo, N., Alberts, A.S., Forsyth, O.E., Beverly, G., Sweetlove, M.A., Marais, J., Loitter, M.G. van Aswegen, A: Evaluation of samarium-153 and holmium-166-EDTMP in the normal baboon model. *Nucl. Med. & Biol.* 23(8), 935-940 (1996).
3. Qiu, L., Kang, X., Wang, T.: A study on photochemical separation of rare earths the separation of europium from an industrial concentrate material of samarium, europium, and gadolinium. *Separ. Sci. Tech.* 26(2), 199-221 (1991).
4. Schwantes, J.M., Sudowe, R., Nitsche, H., Hoffman, D.C.: Applications of solvent extraction in the high-yield multi-process reduction/separation of Eu from excess Sm. *J. radioanal. Nucl. Chem.* 276(2) (2008).
5. T, Hirai., I, Komasawa.: Separation of Eu from Sm/Eu/Gd mixture by photoreductive stripping in solvent extraction process. *Ind. Eng. Chem. Res.* 34 (1), 237–243 (1995).
6. Balasubramanian, P. S.: Production of radiochemically and radionuclidically pure ^{153}Sm for medical applications. *J. Radioanal. Nucl. Chem.* 200(1), 43-51 (1995).
7. Ramamoorthy, N., Saraswathy, P., Das, M.K., Mehra, K.S., Ananthakrishnan, M.: Production logistics and radionuclidic purity aspects of ^{153}Sm for radionuclide therapy. *Nuc. Med. commun.* 23(1) ,83-89 (2002).
8. Prabhakar, G., Joshi, Sangeeta.H., Ranganatha, D.K., Umamaheswari, S., Ananthakrishnan, M., Ramamoorthy, N.: Preparation and evaluation of samarium phosphate [^{153}Sm] colloid (SMPC) for possible therapeutic use. *Nucl. Med. Biol.* 27(4), 353-356 (2000).